

АКАДЕМИЯ НАУК СССР

ОРДЕНА ЛЕНИНА ИНСТИТУТ ОБЩЕЙ И НЕОРГАНИЧЕСКОЙ ХИМИИ
им. Н. С. КУРНАКОВА

На правах рукописи

УДК 548.737

БЕЗРУКАВНИКОВА ИРИНА МАТВЕЕВНА

СТРОЕНИЕ КОМПЛЕКСОНАТОВ КОБАЛЬТА И НИКЕЛЯ НА ОСНОВЕ
ЭТИЛЕНДИАМИНТЕТРАУКСУСНОЙ КИСЛОТЫ И ЕЕ ДИАМИННЫХ АНАЛОГОВ

02.00.01 - Неорганическая химия

Автореферат
диссертации на соискание ученой степени
кандидата химических наук

БИБЛИОТЕКА
ХИМИЧЕСКОЙ АКАДЕМИИ СССР
Москва ГСП-912, здание № 31

Москва - 1990

Работа выполнена на кафедре физической химии химического факультета Московского государственного университета им. М. В. Ломоносова в лаборатории кристаллохимии.

Научные руководители:

кандидат химических наук, доцент ПОЛЫНОВА Т. Н.

член-корреспондент АН СССР ПОРАЙ-КОШИДЗ М. А.

Официальные оппоненты:

доктор химических наук ФУРМАНОВА Н. Г.

кандидат химических наук МИХАИЛОВ Ю. Н.

Ведущая организация: Всесоюзный ордена Трудового Красного Знамени научно-исследовательский институт химических реагентов и и особо чистых химических веществ.

Защита диссертации состоится 25 декабря 1990 г. в 10.00 час. на заседании Специализированного совета К 002.37.01 в Институте общей и неорганической химии им. Н. С. Курнакова АН СССР по адресу: 117907, ГСП-1, Москва, Ленинский проспект, д. 31.

С диссертацией можно ознакомиться в ОХН БЕН АН СССР.

Автореферат разослан 23 ноября 1990 г.

Ученый секретарь Специализированного совета, кандидат химических наук *Ирина Енда*, И. Ф. Аленчикова

Общая характеристика работы

Актуальность

Этилендиаминтетрауксусная кислота (H_4Edta) - наиболее яркий представитель полиаминполикарбоновых кислот - является универсальным лигандом, образующим соли практически со всеми металлами. Широкое применение этих солей (комплексонатов) в различных областях науки и техники обусловило интенсивное изучение данного класса соединений. К настоящему времени методом рентгеноструктурного анализа (РСА) исследовано более 150 комплексонатов металлов на основе H_4Edta и ее диаминных аналогов.

Хотя структурные данные имеются по комплексонатам практически всех 3d-металлов, однако целый ряд стереохимических аспектов этого класса соединений требует дальнейшего более углубленного изучения.

Из многочисленных литературных данных следует, что строение комплексов металлов с Edta^{4-} и его аналогами существенным образом зависит от стехиометрического соотношения $n_{\text{M}}:n_{\text{lig}}$.

Наиболее широко исследованы комплексы с составом $n_{\text{M}}:n_{\text{lig}} = 1:1$, данные по соединениям других составов касаются, главным образом, комплексов состава $n_{\text{M}}:n_{\text{lig}} = 2:1$ и носят несистематический, в большей степени случайный характер. РСА для соединений сложного состава с соотношением $n_{\text{M}}:n_{\text{lig}} > 3:2$ не проводился.

В последние годы наряду с классическими все большее применение находят комплексонаты на основе модифицированных лигандов - аналогов Edta^{4-} , однако в структурном плане изучены они сравнительно мало.

Особое место в химии координационных соединений занимают смешаннолигандные комплексонаты переходных металлов, обладающие многими специфическими свойствами, и хотя все более расширяется спектр ионов и молекул, участвующих в комплексообразовании в качестве сопутствующих лигандов, структурные данные по соединениям этого типа относительно немногочисленны.

К настоящему времени известно значительное количество структур, в состав которых помимо металла-комплексообразователя входит еще один металл, выполняющий роль внешнесферного катиона и оказывающий значительное влияние на формирование структуры. В частности, участие Ca^{2+} в образовании кристаллической структуры в каче-

стве внешнесферного катиона до такой степени изменяет ее композицию, что способ координации как основного металла, так и Ca^{2+} становится практически непредсказуем. Детального и систематического сопоставления результатов исследования таких соединений до сих пор не проводилось.

Исследование комплексонатов в твердой фазе и в растворе различными физико-химическими методами позволило сделать заключение об идентичности строения координационного полизэдра металла в этих фазах, но до настоящего времени не установлено корреляции между структурными параметрами и термодинамическими характеристиками равновесий в растворе.

Задачи исследования

В связи с изложенным возникает необходимость:

- изучения методом РСА этилендиаминтетрацетатов металлов со стехиометрическим соотношением $n_{\text{M}}:n_{\text{lig}} > 3:2$;
- установления кристаллохимических закономерностей в строении 3d-переходных металлов на основе модифицированных лигандов - аналогов Edta^{4-} ;
- выяснения роли сопутствующих лигандов и внешнесферных катионов при формировании структур;
- установления корреляции между структурными параметрами и термодинамическими характеристиками равновесий в растворе.

Научная новизна

В настоящей работе:

- впервые методом РСА решена структура соединения $\text{Co}_5(\text{Edta})_2(\text{ClO}_4)_2 \cdot 2\text{H}_2\text{O}$ с соотношением $n_{\text{M}}:n_{\text{lig}} = 5:2$;
- определено строение комплексоната $\text{Co}(\text{III})$ на основе нового лиганда - аналога Edta - этилендиаминтетрапропионовой кислоты (H_4Edtp) состава $\text{Ca}[\text{CoEdtp}]\text{ClO}_4 \cdot 2\text{H}_2\text{O}$;
- установлено различие в структурно-химической роли двух одинаковых монодентатных лигандов - циано-групп - при формировании структуры соединения $\text{Ca}[\text{CoEdta}(\text{CN})_2]\text{Cl} \cdot 6\text{H}_2\text{O}$;
- выявлены закономерности при комплексообразовании смешанных лигандных комплексов $\text{Co}(\text{III})$ с этилендиаминдиуксусной кислотой в условиях конкуренции лигандов;

- установлена корреляция между структурным параметром (длиной связи M-N) и термодинамической характеристикой ($\Delta K_{уст}$) в растворе.

Практическая значимость

Исследование строения 12 соединений (табл. 1) кобальта и никеля на основе H_4Edta и ее диаминных аналогов методов РСА вносит дополнительный вклад в стереохимию комплексонатов переходных металлов.

Сопоставление результатов исследования соединений различными методами позволяет более точно интерпретировать параметры, полученные косвенными физико-химическими методами.

Результаты данной работы используются при чтении курса лекций по кристаллохимии на химическом факультете МГУ.

Положения, выносимые на защиту:

1. Закономерности строения соединений $Co(III)$ и $Mn(II)$ с тетрацентратными аналогами $Edta$.
2. Влияние сопутствующих лигандов и внешнесферных катионов на характер структуры.
3. Закономерности комплексообразования смешанных лигандных комплексонатов с тетрадентатными аналогами $Edta$ в условиях конкуренции лигандов.
4. Установление корреляции между константами устойчивости и структурными параметрами $[MEdta]^{2-}$ комплексов.

Апробация работы

Результаты работы доложены на конкурсе молодых ученых МГУ (1990 г.), на III Всесоюзном совещании по химии и применению комплексонов и комплексонатов металлов (Челябинск, 1988 г.), на Всесоюзном совещании "Дифракционные методы в химии" (Сузdal', 1988 г.), на V Всесоюзном совещании по кристаллохимии неорганических и координационных соединений (Владивосток, 1989 г.), на ХУЛ Всесоюзном Чугаевском совещании по химии комплексных соединений (Минск, 1990 г.).

Публикации

По теме диссертации опубликовано 3 статьи и тезисы 6 докладов.

Таблица 1

Перечень исследованных соединений

| N | Название | Обозначение соединений |
|------|---|---|
| I | Дигидрат {ди[акво- μ -этилендиаминтетра- ацетатокобальт(II)]тетрааквокобальт(II)} диперхлорат дигексааквокобальта(II) | $Co_5(Edta)_2(ClO_4)_2 \cdot 2H_2O$ |
| II | Гексагидрат [(s,s) этилендиаминдисукцинаты никеля(II)]кальция | $CaNi(s,s)Edds \cdot 6H_2O$ |
| III | Дигидрат [(R,R*) этилендиаминдисукцинаты никеля(II)]гексааквощинка(II) | $Zn[Ni(R,R^*)Edds] \cdot 8H_2O$ |
| IV | Дигидрат [(этилендиаминтетра-3-пропионато)кобальтата(III)]кальция перхлората | $Ca[CoEdtp]ClO_4 \cdot 2H_2O$ |
| V | Пентагидрат азидо(этилендиаминтетра- ацетато)кобальтата(III) бария | $Ba[CoEdtaN_3] \cdot 5H_2O$ |
| VI | Дигидрат (пиридин)гидроэтилендиамин- тетраацетатокобальта(III) | $[CoHEdtapY] \cdot 2H_2O$ |
| VII | Хлорид гексааквокальция (μ -циано) (этилендиаминдиацетато)циано- кобальта(III) | $Ca[CoEdda(CN)_2]Cl \cdot 6H_2O$ |
| VIII | Пентагидрат би[диазидо(этилендиамин- диацетато)кобальтата(III)] бария | $Ba[CoEdda(N_3)_2]_2 \cdot 5H_2O$ |
| IX | Дигидрат (α -глицинато) (этилендиамин- диацетато)кобальта(III) | $[CoEddaGly] \cdot 2H_2O$ |
| X | Дигидрат [(циано)(этилендиамино) этилендиаминдиацетато]кобальта(III) | $[CoEdda(CN)En] \cdot 2H_2O$ |
| XI | Моногидрат [μ -fac (диэтилентриамино) (этилендиаминдиацетато)кобальта(III)] перхлорат | $[CoEddaDien]ClO_4 \cdot H_2O$ |
| XII | Моногидрат [ди(амино)(1-диэтилентри- аминноацетато)кобальта(III)] диперхлорат | $[CoI-Dtma(NH_3)_2] \cdot (ClO_4)_2 \cdot H_2O$ |

Объем и структура диссертации

Диссертация состоит из введения, литературного обзора, посвященного обсуждению структурных функций диаминных комплексонатов 3d-металлов, экспериментальной части, обсуждения результатов, выводов, библиографии и приложения.

Общая характеристика эксперимента

Соединение 1 получено в Институте неорганической химии СО АН СССР Мячиной Л.И. и Логвиненко В.А., соединения II и III синтезированы на кафедре неорганической химии МГУ Ковалевой И.Б., остальные соединения синтезированы в Институте физики АН БССР Позняком А.Л.

Рентгеноструктурное исследование проводилось на автоматическом дифрактометре САД-4: ω -сканирование, $\lambda\text{MoK}_{\alpha}$ -излучение, графитовый монохроматор. Расчеты проводились с использованием комплекса программ "Shelx" и "Xanadu" на ЭВМ ЕС-1060.

Структуры I, III, IX решены прямым методом, остальные - методом тяжелого атома. Уточнение координат проводилось в анизотропно-изотропном (для атомов H) приближении. Основные кристаллографические данные исследованных соединений приведены в табл. 2.

Установление корреляции между структурными параметрами и термодинамическими характеристиками равновесий в растворе проводились совместно с кандидатом химических наук Поповым К.И. (ИРЕА).

Строение комплекса Co(II) состава $\text{Co}_5(\text{Edta})_2(\text{ClO}_4)_2 \cdot 2\text{H}_2\text{O}$ (1)

В Институте неорганической химии СО АН СССР, где было синтезировано соединение 1, сделана попытка определить строение комплекса на основе данных, полученных различными физико-химическими методами (ИК-спектроскопия, магнетохимия, термогравиметрия, электронная спектроскопия). Авторы пришли к заключению, что этот комплекс имеет "многоядерное" строение и координационное число Co(II) равно шести. Первое заключение оказалось справедливым, второе - лишь частично.

Как показало структурное исследование, в 1 атомы Co(II) занимают три независимые позиции (две общие и одну частную в центре инверсии) и имеют разные координации. Координационное число атома Co(1) равно 7 (рис. 1). Его окружение составляет четыре атома кислорода, два атома азота лиганда Edta^{4-} и молекула воды. Атом Co(2), находясь в центре инверсии, выполняет мостиковую функцию между

Таблица 2

Кристаллографические характеристики исследованных соединений

| N | a | b | c | α | β | γ | $\varphi, \text{гр}$ | N_1 | N_2 | R | |
|------|-----------|------------|------------------------|-----------|-----------|-----------|----------------------|----------------------------------|--------------|------|------|
| I | 2 | 3 | 4 | 5 | 6 | 7 | 8 | 9 | 10 | 11 | 12 |
| I | 7,524 (4) | 13,050 (4) | 13,655 (2) | 109,21(2) | 98,38(2) | 95,77(2) | 1 | P ₁ | 38 | 3105 | 0,09 |
| II | 8,822(2) | 21,023(4) | 10,756(4) | 90 | 90 | 90 | 4 | P ₂ 1,2 | 29 | 2320 | 0,05 |
| III | 30,536(2) | 15,876(4) | 9,907(4) | 90 | 90 | 110,70(4) | 8 | B2, ¹ b | 30 | 4744 | 0,08 |
| IV | 7,555(2) | 9,230(4) | 15,184(4) | 91,19(2) | 103,76(2) | 97,08(2) | 2 | P ₁ | 33 | 1596 | 0,05 |
| V | 11,389(2) | 12,614(2) | 13,308(2) | 90 | 90,58(2) | 90 | 4 | P ₂ 1, ¹ n | 32 | 3299 | 0,03 |
| VI | 24,229(2) | 10,568(2) | 7,122(4) | 90 | 90 | 99,51(5) | 4 | P ₂ 1, ¹ a | 29 | 2369 | 0,05 |
| VII | 6,855 (2) | 12,368(2) | 11,376(2) | 90 | 106,93 | 90 | 2 | P ₂ 1, ¹ a | 25 | 2730 | 0,04 |
| VIII | 9,934(2) | 11,755(2) | 14,204(4) ³ | 97,18(2) | 90 | 114,96(2) | 2 | P ₁ | 45 | 2366 | 0,06 |
| IX | 8,628(1) | 15,274(2) | 10,072(2) | 90 | 90 | 102,37(5) | 4 | P ₂ 1, ¹ b | 20 | 2250 | 0,05 |
| X | 9,136(3) | 10,564(3) | 15,484(3) | 90 | 90 | 110,67(5) | 4 | P ₂ 1, ¹ b | 21 | 1857 | 0,06 |
| XI | 9,243(2) | 13,046(3) | 14,167(4) | 90 | 90 | 91,19(2) | 4 | P ₂ 1, ¹ b | 26 | 2634 | 0,06 |
| XII | 7,740 (2) | 8,489 (2) | 20,798 (2) | 90 | 90 | 96,87(2) | 4 | P ₂ 1, ¹ a | 25 | 2938 | 0,05 |

Nat - количество независимых неводородных атомов

N - количество отражений с $J > 3b$ (J)

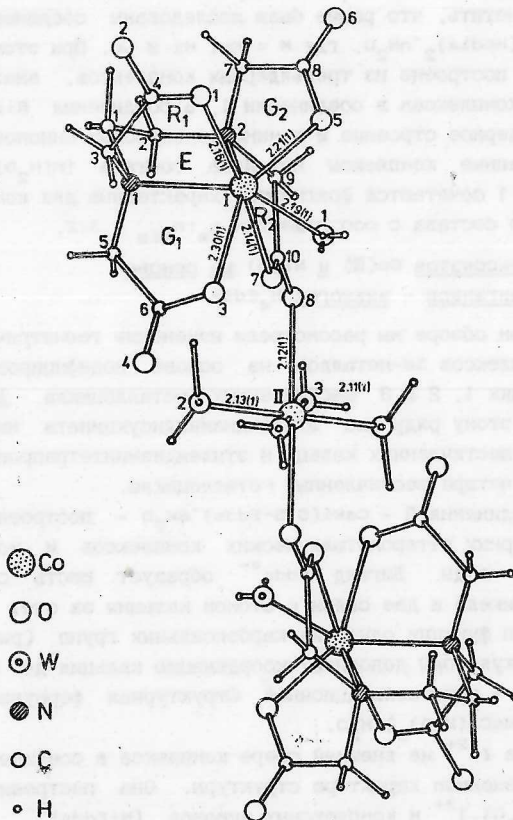


Рис. 1. Трехъядерный комплекс состава $[\text{Co}(\text{H}_2\text{O})\text{Edta}]_2\text{Co}(\text{H}_2\text{O})_4^{2-}$ в структуре 1.

двумя симметрически связанными комплексами $[\text{Co}\text{Edta}(\text{H}_2\text{O})]^{2-}$ и включает в свою координацию два карбонильных атома кислорода $\text{O}(8)$ двух лигандов Edta^{4-} . До шести координации атома $\text{Co}(2)$ дополняется четырьмя молекулами воды. Мостиковая функция атома $\text{Co}(2)$ приводит к образованию трехъядерного комплекса состава $[\text{Co}(\text{H}_2\text{O})\text{Edta}]_2\text{Co}(\text{H}_2\text{O})_4^{2-}$. Кроме того, в структуре присутствуют аквакомплексы $[\text{Co}(\text{H}_2\text{O})_6]^{2+}$. Группы ClO_4^- располагаются между трехъядерными комплексами и аквакомплексами $[\text{Co}(\text{H}_2\text{O})_6]^{2+}$. В структуре действует сложная система H-связей.

Интересно отметить, что ранее были исследованы соединения с общей формулой $M_3(HEdta)_2 \cdot nH_2O$, где $M = Mn$, Ni и Co . При этом, соединение марганца построено из трехъядерных комплексов, аналогичных трехъядерным комплексам в соединении I, а соединения $Ni(II)$ и $Co(II)$ имеют моноядерное строение и помимо комплексных анионов содержат гидратированные комплексы металлов состава $[M(H_2O)_6]^{2+}$, т.е. в соединении I сочетаются фрагменты, характерные для комплексов более простого состава с соотношением $n_m:n_{lig} = 3:2$.

Стереохимия комплексонатов Co(III) и Ni(II) на основе модифицированных лигандов - аналогов H₄Edta

В литературном обзоре мы рассмотрели изменение геометрических характеристик комплексов 3d-металлов на основе модифицированных лигандов, содержащих 1, 2 и 3 шестичленных металлоцикла. Данная работа добавила к этому ряду два этилендиаминтетрапропионат $Co(III)$, содержащий четыре шестичленных металлоцикла.

Структура соединения II - $CaNi(S,S-Edts) \cdot 6H_2O$ - построена из биядерных молекулярных гетерометаллических комплексов и молекул кристаллизационной воды. Лиганд $Edts^{4-}$ образует шесть связей ($2m+4o$) с атомом никеля и две связи с атомом кальция за счет тридентатно-мостиковой функции одной из карбоксильных групп (рис.2). Пять из шести молекул воды дополняют координацию кальция до семи. Одна молекула воды - кристаллизационная. Структурная формула соединения II - $[NiEdtsCa(H_2O)_5] \cdot H_2O$.

Замена Ca^{2+} на Zn^{2+} на внешней сфере комплекса в соединении III сопровождается изменением характера структуры. Она построена из аквакатионов $[Zn(H_2O)_6]^{2+}$ и комплексных анионов $[NiEdts]^{2-}$, связанных между собой лишь системой водородных связей. Координация $Ni(II)$, в целом, такая же, как в структуре II: в комплексах реализуется наиболее выгодная транс- $O(5)$ конфигурация. Структура III является рацематом S,S- и R,R-форм комплекса.

В структурах II и III действует сложная система водородных связей с участием молекул воды и атомов азота и кислорода лиганда $Edts^{4-}$.

Соединение состава $Ca[CoEdtp]ClO_4 \cdot 2H_2O(1Y)$ является первым комплексом $Co(III)$ с лигандом этилендиаминтетрапропионатом, исследованным методом РСА. Структура построена из комплексных анионов

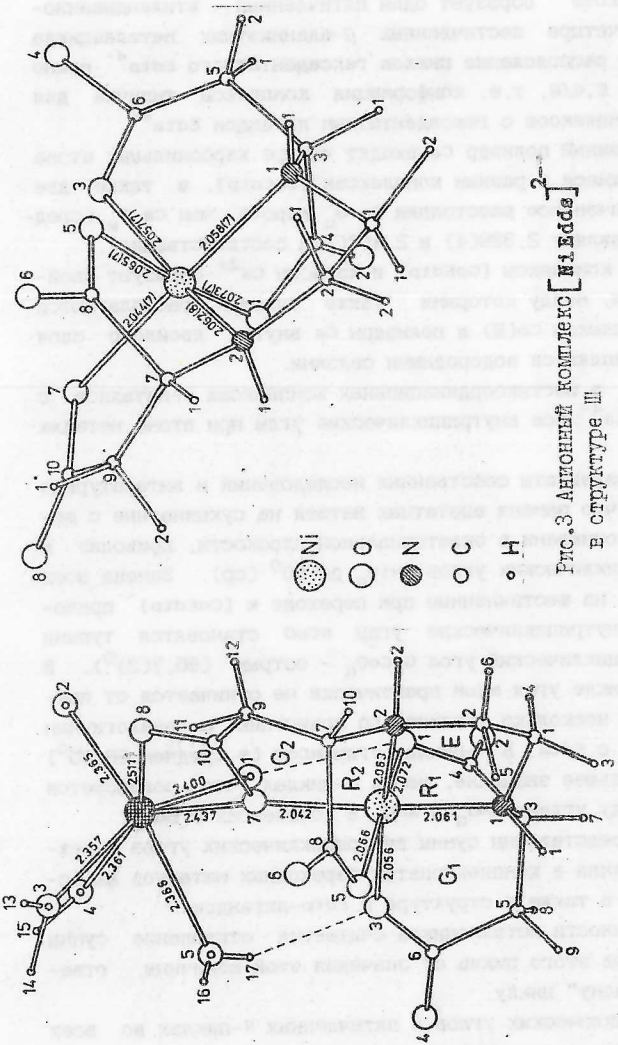


Рис.3 Анионный комплекс $[\text{Ni}(\text{EDTA})_2]^{2-}$
в структуре II

Рис.3 Ионный комплекс состава
 $[\text{H}_2\text{O}]_5\text{Ca}^{2+}\text{dew}_1$ в структуре II

[CoEdtp]⁻, катионов Ca²⁺ и молекул кристаллизационной воды. Гексадентатный лиганд Edtp⁴⁻ образует один пятичленный - этилендиаминовый (E) цикл и четыре шестичленных β-аланинатных металлоцикла (рис. 4). Взаимное расположение циклов гексадентатного Edtp⁴⁻ можно выразить символом E,G/R, т.е. конформация комплекса типична для октаэдрических комплексов с гексадентатным лигандом Edta⁴⁻.

В координационный полизэр Ca входят четыре карбонильных атома кислорода, относящиеся к разным комплексам [CoEdtp], а также две молекулы воды, причем все расстояния Ca-O₆ короче, чем Ca-O₈ (средние значения составляют 2,329(4) и 2,457(4) Å соответственно).

В результате комплексы [CoEdtp] и катионы Ca²⁺ образуют двойные катионные слои, между которыми также слоями располагаются анионы ClO₄⁻. Комплексы Co(III) и полизэры Ca внутри двойного слоя дополнительно укрепляются водородными связями.

Как известно, в шестикоординационных комплексах d-металлов с гексадентатным Edta⁴⁻ все внутрициклические углы при атоме металла всегда меньше 90°.

Анализируя результаты собственных исследований и литературные данные, отмечаем, что замена ацетатных ветвей на сукцинатные с шестичленными металлоциклами в экваториальной плоскости, приводит к увеличению внутрициклических углов NMO_G до 90° (ср.). Замена всех пятичленных циклов на шестичленные при переходе к [CoEdtp]⁻ приводит к тому, что внутрициклические углы NCO становятся тупыми (92,4° ср.), а эзаписический угол O_GCOO_G¹² острым (85,7(2)°). В этилендиаминовом цикле угол NCO практически не отличается от прямого (90,4°), т.е. несколько увеличен по сравнению с аналогичным углом в комплексах с Edta. В R-циклах углы NCO (в среднем 93,05°) имеют несколько большее значение, чем в G-циклах, что согласуется с соотношением между углами NMO_G и NMO_R в комплексах с Edta.

В таблице 3 представлены суммы внутрициклических углов и между плоскостные расстояния в комплексонатах переходных металлов на основе Edts-лиганда, а также в структуре с Edtp-лигандом.

Мерой напряженности металлоцикла считается отклонение суммы внутрихелатных углов этого цикла от значения этой величины, отвечающей "ненапряженному" циклу.

Суммы внутрициклических углов в пятичленных R-циклах во всех случаях меньше суммы, отвечающей "ненапряженному" циклу 538,5°, т.е. напряженность металлоцикла выражается в его чрезмерной гофри-

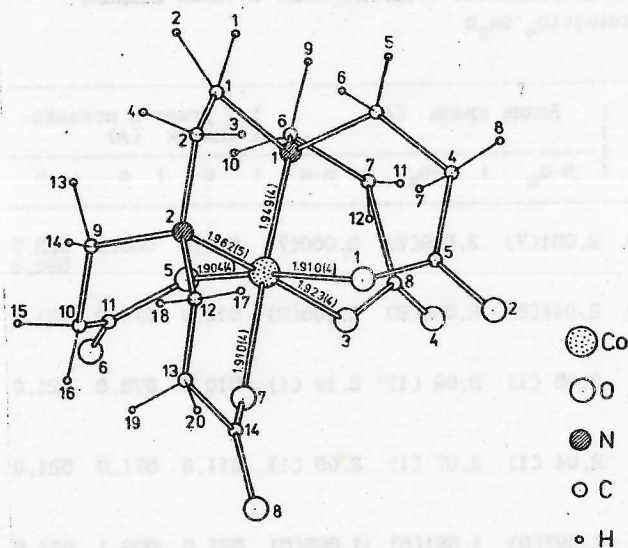


Рис. 4. Комплекс $[\text{CoEdtp}]^{2-}$ в структуре 1Y.

рованности. Суммы внутрициклических углов в шестичленных G-циклах (и в R-циклах в Edtp) во всех случаях больше суммы, отвечающей "ненапряженному" циклу 648° , т. е. напряженность металлоцикла выражается в его заниженной гофрированности – "уплощении", но ее можно считать весьма условной, поскольку валентные углы при атомах кислорода вообще могут варьировать в достаточно широких пределах без существенного ослабления связи с металлом. Это подтверждается тем, что расстояния $M-O_G$ в этилендиаминодисукцинатах не удлинены (таблица 3), а в соединениях П, III, (1), (2) даже короче, чем $M-O_R$, хотя обычно в комплексах с Edta связи $M-O_G$ бывают несколько длиннее, чем $M-O_R$, как и в комплексе $[\text{CoEdtp}]^-$.

Таблица 3

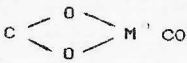
Суммы углов и нежплоскостные расстояния в металлоциклах этилендиаминдинуксцнатов Co(III) и Ni(II), а также соединения Ca[CoEdtp]ClO₄·2H₂O

| Соединение | Длина связи (А) | | | | Σ углов в металлоциклах (А) | | | |
|--|------------------|------------------|----------|-------|-----------------------------|----------------|--|--|
| | M-O _G | M-O _R | M-N | E | G | R | | |
| Ca[Ni(R,R)Edts] ·6H ₂ O (II) | 2,051(7) | 2,069(7) | 2,060(7) | 511,6 | 669,0 | 522,5 530,3 | | |
| Zn[Ni(S,S)Edts] ·8H ₂ O (III) | 2,044(8) | 2,062(9) | 2,058(9) | 512,1 | 671,0 | 521,0 | | |
| [Ni ₂ (S,S)Edts] ·7H ₂ O (1)* | 2,05 (1) | 2,09 (1) | 2,10 (1) | 516,5 | 673,8 | 521,0 | | |
| [Ni ₂ (S,S)Edts] ·10H ₂ O (2)* | 2,04 (1) | 2,07 (1) | 2,05 (1) | 511,8 | 671,0 | 521,0 | | |
| Li[Co(R,S)Edts] ·3H ₂ O (3)* | 1,897(6) | 1,891(6) | 1,898(6) | 521,0 | 669,1 | 524,9 533,1 | | |
| [Co ₃ (R,SEdts) ₂] ·14H ₂ O (4)* | 1,92 (2) | 1,89 (2) | 1,92 (2) | 523,8 | 670,1 | 522,5 531,9 | | |
| Ca[CoEdtp](ClO ₄) ·2H ₂ O (1Y) | 1,916(4) | 1,907(4) | 1,955(5) | 514,6 | 685,0 | 682,0 | | |

* - литературные данные

Анализируя таблицу, можно также отметить, что в комплексах II, (3), (4) наблюдается значительная разность в гофрированности R-циклов (в II и (3) соединениях $\Delta=8^{\circ}$; в (4) $\Delta=10^{\circ}$). В остальных со-

единениях суммы R-циклов близки, и в табл. 3 представлены средние значения этих величин. Это различие связано с характером структуры соединений. В (1), (2) и III лиганд Edd_s координируется только одним атомом металла, тогда как в соединениях IV, (3) и (4) одна из G-карбоксильных групп образует четырехчленный цикл



вторым атомом металла.

Данные таблицы показывают, что это приводит к уменьшению гофрированности сопряженного с ним пятичленного R-цикла, т.е. к отмеченному выше увеличению суммы внутрициклических углов на 8-10°.

При переходе от Edd_s⁴⁻ к Edtp⁴⁻, т.е. при замене пятичленных R-циклов на шестичленные сумма углов в них, естественно, возрастает и становится такой же как в G-циклах (соединение IV). При отсутствии сопряжения циклов по углеродному атому (как в Edd_s) оба шестичленных цикла (R- и G-) становятся еще более плоскими: их суммы углов возрастают еще на 10-15°.

Смешанолигандные комплексы Co(III)

Примерами комплексообразования Co(III) с Edta⁴⁻ и монодентатными конкурирующими лигандами могут служить соединения U и U1, в которых монодентатный конкурирующий лиганд вытесняет из координационной сферы Co(III) один из экваториальных глицинатных циклов, более напряженных, чем аксиальные из-за сопряжения в одной и той же плоскости сразу трех металлоциклов. Структура U (рис. 5) построена из комплексных анионов [CoEdtaN₃]²⁻, катионов Ba²⁺ и молекул кристаллизационной воды. Условную экваториальную плоскость октаэдра Co(III) образуют атомы N(1), N(2) и O(1) лиганда Edta и атом N(3) азидиона.

KЧ атома Ba - 9. В его окружение помимо трех молекул воды входят пять некоординированных кобальтом атомов кислорода лигандов Edta⁴⁻, принадлежащие пяти различным комплексам, и атом N(5) азидиона. Таким образом, формируется полимерная структура, дополнитель но укрепленная водородными связями.

В состав структуры U1 входят молекулярные комплексы [CoHEdtaPy] (рис. 6) и молекулы кристаллизационной воды. Атом N(3) молекулы пиридина, как и конкурирующий лиганд в U, находится в экваториальной плоскости искаженного октаэдра Co(III).

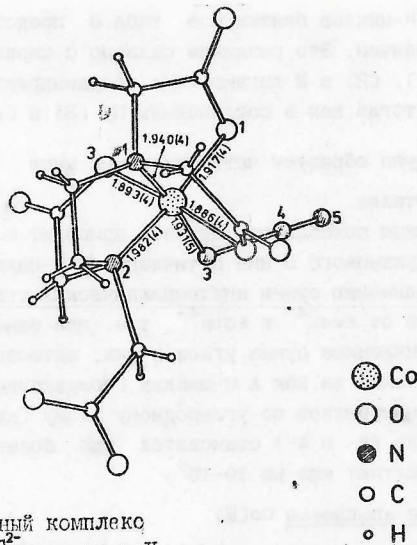


Рис.5 Анионний комплекс
 $[\text{Co}(\text{EDta}-\text{N}_3)_2]^{2-}$ в структуре

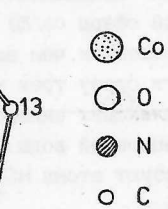


Рис.6 Молекулярный комплекс $[\text{Co}(\text{NH}_2\text{Py})_4]$
 в структуре VI

Основные фрагменты структуры - молекулярные комплексы $[\text{CoH}_2\text{Edta}]$ и молекулы кристаллизационной воды объединены водородными связями в слои, между которыми осуществляется Ван-дер-Ваальсово взаимодействие.

Комплексы У и У1, где Edta и соответственно H₂Edta пентадентатны, имеют EG/R-E, -/R конфигурации. Исследование структур с тетрадентатными диаминными лигандами (соединения УП и УШ) показало, что и в этих соединениях Co(III) сохраняется та же конфигурация E, -/R.

Ближайшим тетрадентатным аналогом H₄Edta является этилендиамин N-N'-диуксусная кислота H₂Edda, отличающаяся от первой количеством ацетатных ветвей. Будучи линейным тетрадентатным лигандом, H₂Edda участвует в образовании смешанных комплексов переходных металлов, которые, как правило, имеют КЧ = 6. Теоретически, комплекс $[\text{CoEdda}(\text{L})_2]$, где L - монодентатный лиганд, может существовать в виде трех геометрических изомеров α -cis, β -cis и trans (рис.7).

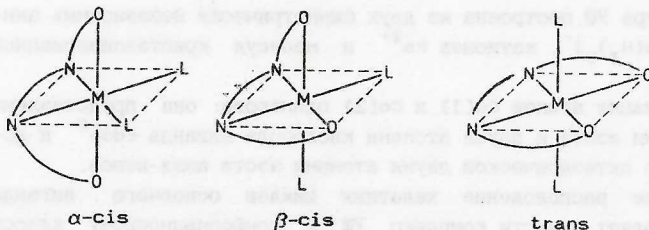


Рис. 7. Геометрические изомеры комплекса $[\text{MEdda}(\text{L})_2]$.

При комплексообразовании с бидентатным сопутствующим лигандом trans-форма невозможна.

В диссертационной работе исследованы пять смешанных лигандных соединений Co(III) с Edda^{2-} и двумя моно (циано-группы и азид-ионы), одним би (глицинат-ион), одновременно моно (циано-группа) и би (этилендиамин) и одним три (диэтилентриамин) дентатными сопутствующими лигандами.

Структура УП построена из положительно заряженных биядерных гетерометаллических комплексов состава $[(\text{H}_2\text{O})_6\text{Ca}(\mu-\text{NC})\text{CoEdta}(\text{CN})]^+$ и анионов Cl^- . Октаэдрическая координация атома Co(III) включает

атомы углерода двух цианид-ионов, два атома азота и два атома кислорода лиганда Edda²⁻ (рис.8). Взаимное расположение металлоциклов отвечает α -cis-изомеру.

Два лиганда CN⁻ выполняют разные структурные функции. Один из них, связанный с атомом со атомом углерода C(8), образует также связь с атомом Ca через атом азота N(4), выполняя роль "мостика". Второй лиганд CN⁻ связан только с атомом со посредством атома C(7).

Кроме атома азота N(4) в координационную сферу иона Ca²⁺ входят шесть молекул воды.

В сложной системе H-связей в качестве доноров протонов участвуют оба атома азота Edda²⁻-лиганда и все шесть молекул воды, а в качестве акцепторов протона - три из четырех атомов кислорода Edda-лиганда, одна молекула воды и анион хлора объединяют комплексные катионы и анионы хлора в трехмерный каркас. Структурную формулу соединения УП можно представить в виде $[(H_2O)_6Ca(\mu\text{-NC})Co(CN)Edda]Cl$.

Структура УП построена из двух симметрически независимых анионов $[CoEdda(N_3)_2]^-$, катионов Ba²⁺ и молекул кристаллизационной воды. (рис.9)

Координация атомов Co(1) и Co(2) одинакова: она представлена двумя атомами азота и двумя атомами кислорода лиганда Edda²⁻ и дополняется до октаэдрической двумя атомами азота азид-ионов.

Взаимное расположение хелатных циклов основного лиганда Edda²⁻ позволяет отнести комплекс УП к конформационному классу ϵ , -/R. Положение сопутствующих лигандов отвечает α -цис конфигурации.

В отличие от циано-групп в соединении УП, выполняющих различные структурные функции, при формировании структуры УП все четыре азид-иона ведут себя одинаково, выполняя роль "мостиков" между комплексами кобальта и катионами Ba²⁺.

Координационное число атома Ba равно 9. В его окружение входят два карбонильных атома кислорода от разных комплексов $[CoEdda(N_3)_2]^-$, четыре атома азота азид-ионов и три молекулы воды. В сложной системе H-связей участвуют все шесть молекул воды и все карбонильные атомы кислорода комплексов $[CoEdda(N_3)_2]^-$.

Структура IX ($[CoEddagly] \cdot 2H_2O$) построена из молекулярных комплексов $[CoEddagly]$ (рис.10) и молекул кристаллизационной воды.

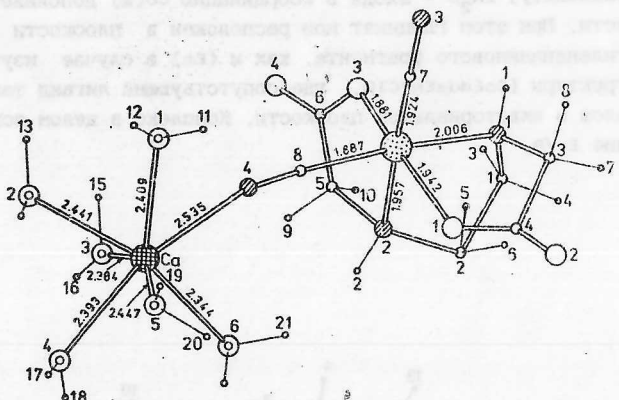


Рис.8 Биядерный комплекс $[(\text{H}_2\text{O})_6\text{CaNCCoEdta}(\text{CN})]^+$ в структуре VII

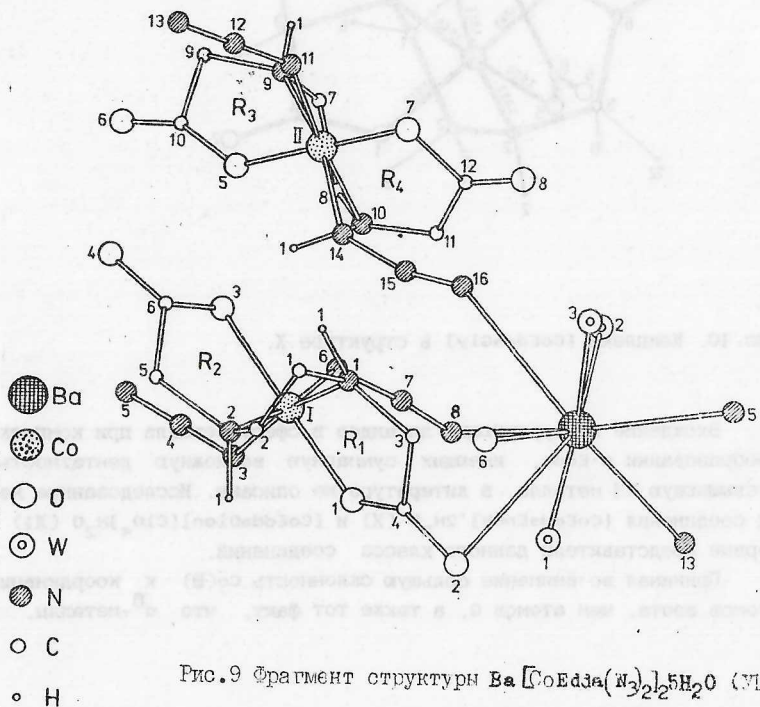


Рис.9 Фрагмент структуры $\text{Ba}[\text{CoEdta}(\text{N}_3)_2]_2 \cdot 5\text{H}_2\text{O}$ (VIII)

Бидентатный сопутствующий лиганд-глицинат ион в **IX** - $[\text{CoEddaGly}] \cdot 2\text{H}_2\text{O}$ - входя в координацию $\text{Co}(\text{III})$ дополняет его КЧ до шести. При этом глицинат ион расположен в плоскости центрального этилендиаминового фрагмента, как и (E_{D}) в случае изученной ранее структуры $[\text{CoEddaEn}] \text{ClO}_4$, где сопутствующий лиганд также располагался в экваториальной плоскости. Комплекс в целом сохраняет строение $\text{E}-/\text{R}$.

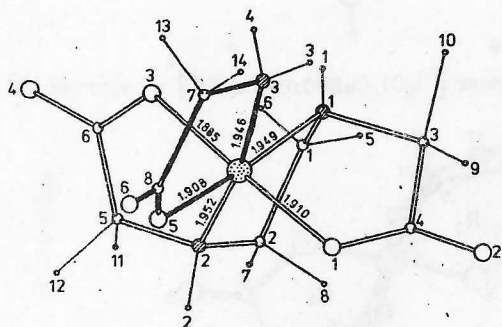


Рис. 10. Комплекс $[\text{CoEddaGly}]$ в структуре **X**.

Вхождение конкурирующих лигандов в сферу металла при комплексообразовании с Edda, имеющих суммарную возможную дентатность, превышающую КЧ металла, в литературе не описаны. Исследованные нами соединения $[\text{CoEddaEnCN}] \cdot 2\text{H}_2\text{O}$ (**X**) и $[\text{CoEddaDien}] (\text{ClO}_4) \cdot \text{H}_2\text{O}$ (**X1**) - первые представители данного класса соединений.

Принимая во внимание большую склонность $\text{Co}(\text{III})$ к координации атомов азота, чем атомов O , а также тот факт, что d^6 -металлы, в

частности, $\text{Co}(\text{III})$ не склонны к повышению координационного числа выше шести, можно было бы априори предполагать, что введение En совместно с циано-группой или диэтилентриамина в комплексы $\text{Co}(\text{III})$ с Edd приведет к тому, что лиганд Edd понизит дентатность до трех, и одна из ацетатных ветвей основного лиганда не будет координирована.

Как показало структурное исследование, в комплексах (X и X1) действительно вытесняется ацетатная ветвь Edd . При этом в X , содержащем CN и En , построенном из молекулярных комплексов состава $[\text{CoEdd}\text{En}\text{CN}]$ (рис.11) и молекул кристаллизационной воды, монодентатный циано-лиганд располагается в транс-позиции к атому O , а атомы азота En и Edd -лигандов - в транс-позиции друг к другу. В X1 , содержащем тридентатный Dien , построенном из катионных комплексов $[\text{CoEdd}\text{Dien}]^+$ (рис.12), анионов ClO_4^- и молекул кристаллизационной воды, центральный атом азота N(4) этого лиганда находится в транс-позиции к атому N Edd , несущему "свободную" ацетатную ветвь, а боковые атомы N(3) и N(5) располагаются в транс-позициях к атомам N(1) и O(1) глицинатного металлоцикла Edd . Аналогия между комплексами в X и X1 будет полной, если в X мысленно соединить группу CN с атомом N En , находящимся в транс-позиции к атому N Edd , несущему свободную ацетатную ветвь.

1-Диэтилентриаминомоуксусная кислота (1-NDtma) является линейным потенциально тетрадентатным лигандом, образующим при координации с атомом металла три пятичленных хелатных цикла.

Исследованный комплекс XII состава $[\text{Co}(1-\text{Dtma})(\text{NH}_3)_2](\text{ClO}_4)_2 \cdot 2\text{H}_2\text{O}$ построен из катионов $[\text{Co}(1-\text{Dtma})(\text{NH}_3)_2]^{2+}$ (рис.13), анионов ClO_4^- и молекул кристаллизационной воды. Строение комплексного катиона отвечает β -конфигурации.

Таким образом, замена одного из глициновых циклов в Edd^{2-} на этилендиаминовый (т.е. переход к Dtma^-) приводит к изменению конфигурации комплекса: переходу от α - к β -строению.

Роль внешнесферного катиона в формировании структуры.

Структурная функция атомов кальция

В комплексных соединениях, содержащих два различных катиона, как состава $\text{M}^{\text{I}}[\text{MeDta}] \cdot n\text{H}_2\text{O}$, так и других составов атом M^{I} формально выполняет роль внешнесферного катиона.

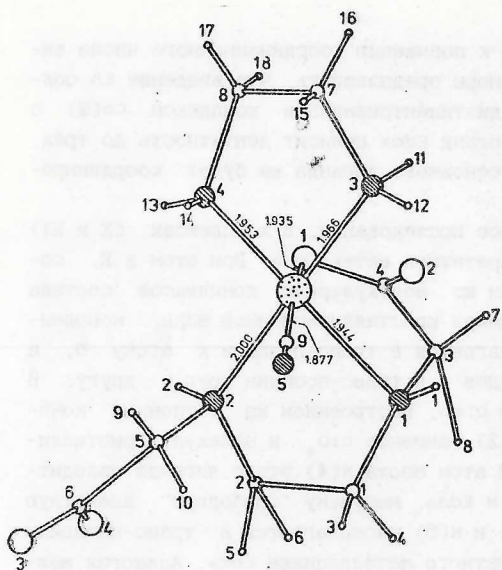


Рис. II Комплекс $[\text{CoEdd}(\text{Eu})\text{CN}]$ в структуре X

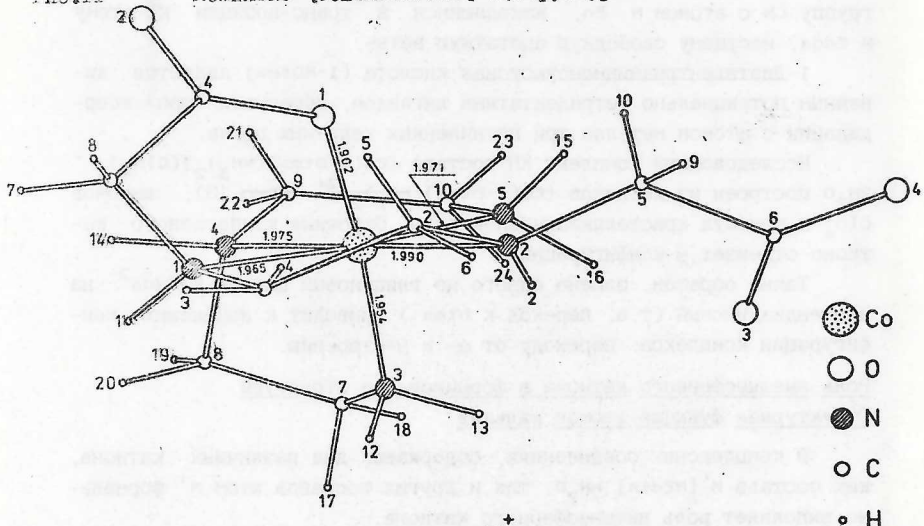


Рис. II Комплексационный катион $[\text{CoEddadien}]^+$ в структуре XI

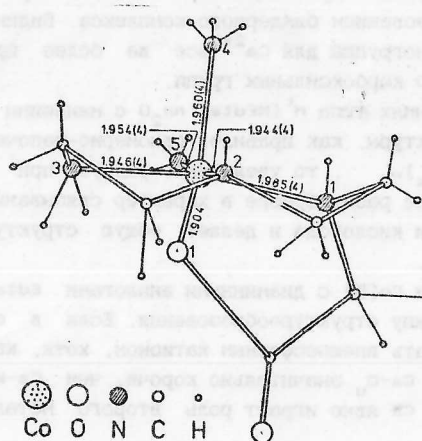


Рис. 13. Комплекс $[\text{Co } 1\text{-Dtma}(\text{NH}_3)_2]^+$ в структуре ХП

Катион m^+ может быть полностью гидратирован, что ведет к образованию островной структуры, построенной из комплексных анионов и гидратированных катионов, либо может связывать карбоксилатные атомы диаминного лиганда металла m , лишь дополняя свою координацию молекулами воды, что ведет к образованию полимеров или олигомеров. Во втором случае m лишь условно можно назвать внешнесферным катионом, особенно если в его координации участвуют и атомы O_{u} , и атомы O_{c}^* с образованием четырехчленных циклов



Как следует из анализа собственных и литературных данных, в соединениях с диаминными комплексонатами переходных металлов катион кальция координирует карбоксильные атомы комплексона. Единственным исключением является структура $\text{Ca}[\text{CoEdda}(\text{CN})_2]\text{Cl}\cdot 6\text{H}_2\text{O}$ (УП),

* O_{c} — атом кислорода, координированный металлом;
 O_{u} — атом кислорода, не координированный металлом.

в которой Ca связан с со не через ацетатную ветвь, а через мостишковую группу CN с образованием биядерного комплекса. Видимо, связывание с атомом N цианогруппы для Ca^{2+} все же более предпочтительно, чем с атомами O карбоксильных групп.

Но если в соединениях типа $M^{\text{I}} [M\text{Edta}] \cdot nH_2O$ с меньшими по размеру радиусами M^{I} структуры, как правило, одномерно-цепочечные полимерные $[M\text{Edtam}^{\text{I}}(H_2O)_4]_{\infty}$, то увеличение радиуса при переходе к Ca^{2+} привносит большое разнообразие в характер связывания Ca с карбоксилатными атомами кислорода и делает общую структуру кристалла непредсказуемой.

Все три соединения $Co(\text{III})$ с диаминными аналогами Edta⁴⁻, совершение различны по типу структурообразования. Если в структуре 1Y Ca²⁺ еще можно считать внешнесферным катионом, хотя, как уже отмечалось, длины связей Ca-O_u значительно короче, чем Ca-W, то в структурах П и УП атом Ca явно играет роль второго металла-комплексообразователя.

Корреляция между константами устойчивости и структурными параметрами этилендиаминтетраацетатов 3d-элементов

Из сравнения спектров ПМР и данных РСА следует, что при переходе из кристаллической фазы в раствор центральный ион сохраняет свое окружение, что позволило нам попытаться установить зависимость между константами устойчивости комплексов $Co(\text{II})$, $Ni(\text{II})$, $Cu(\text{II})$ и $Zn(\text{II})$ с Edta и расстоянием металл-лиганд соответствующих кристаллов.

Поскольку в водном растворе искажения M-lig усредняются, то корреляционные зависимости имеет смысл проводить только для кристаллов с минимальным искажением координационного полизэдра.

Задав в качестве критерия неискаженности комплексного аниона различия, не превышающие 0,08 Å для связей M-O и 0,02 Å для расстояний M-N в гексадентатном Edta, мы смогли отобрать только 5 структур из 19 кристаллогидратов (Кембриджский центр кристаллографических данных) для сопоставления со значениями $\lg K_M$. Оказалось, что значения $\lg K_M$ уменьшаются почти линейно с ростом расстояний M-N. Для расстояний M-O подобной закономерности не наблюдается (рис. 14).

Необходимо отметить, что для ионных радиусов этих же катионов корреляции вообще получить не удается, что еще раз подтверждает

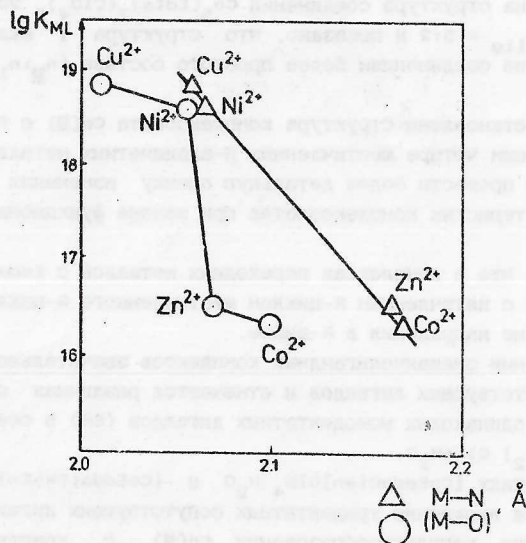


Рис. 14. Корреляционная зависимость между $\lg K_{\text{уст}}$ этилендиаминтетраацетатов 3d-металлов и длиной связи $M-\text{lig}$ в соответствующих кристаллах

вывод о несимметричности изменения расстояния $M-N$ от соединения к соединению и изменения формальных и ионных радиусов.

Полученные данные можно расценивать как свидетельство определяющей роли ковалентности связи $M-N$ по сравнению с $M-O$ в этилендиаминтетраацетатах обсуждаемых катионов при увеличении прочности образуемых ими комплексов.

ВЫВОДЫ

С целью объективного доказательства строения комплексонатов кобальта и никеля на основе H_4Edta и ее диаминных аналогов проведено рентгеноструктурное исследование 12 соединений, в результате которого:

1. Установлена структура соединения $\text{Co}_5(\text{Edta})_2(\text{ClO}_4)_2 \cdot 2\text{H}_2\text{O}$ с соотношением $n_{\text{M}:n_{\text{lig}}} = 5:2$ и показано, что структура 1 включает фрагменты, присущие соединениям более простого состава ($n_{\text{M}:n_{\text{lig}}} = 3:2$).

2. Впервые установлена структура комплексоната $\text{Co}(\text{III})$ с Edta^{4-} -лигандом, образующим четыре шестичленных β -аланинатных металлоцикла, что позволило провести более детальную оценку изменения геометрических характеристик комплексонатов при замене функциональных групп лиганда.

3. Показано, что в комплексах переходных металлов с Edta^{4-} -лигандом сопряжение с пятичленным R-циклом шестичленного G-цикла вызывает значительные напряжения в R-цикле.

4. При изучении смешанных лигандных комплексов значительно расширен спектр сопутствующих лигандов и отмечается различная структурная роль двух одинаковых монодентатных лигандов (см) в соединении $\text{Ca}[\text{CoEdda}(\text{CN})_2] \cdot \text{Cl} \cdot 6\text{H}_2\text{O}$.

5. В соединениях $[\text{CoEddaDien}] \text{ClO}_4 \cdot \text{H}_2\text{O}$ и $[\text{CoEdda}(\text{CN})\text{En}] \cdot 2\text{H}_2\text{O}$ впервые отмечается входжение тридентатных сопутствующих лигандов в сферу металла при комплексообразовании $\text{Co}(\text{III})$ с комплексами $[\text{Edda}]^{2-}$; показано, что в этом случае происходит размыкание одной из ветвей основного лиганда.

6. Проанализирована роль катиона Ca^{2+} в изменении структурных функций диаминных лигандов. Показано, что Ca^{2+} является металлонконкурентом в формировании структур и не может быть априори отнесен к внешнесферным катионам.

7. На примере пяти полимерных соединений установлена корреляция между константой устойчивости комплексов $[\text{MEdta}]^{2-}$ в растворе и длиной связи M-N в кристаллах этилендиаминтетраацетатов 3d- металлов.

По материалам диссертации опубликованы следующие работы:

1. Безрукавникова И.М., Польнова Т.Н., Порай-Кошиц М.А., Позняк А.Л. Кристаллическая и молекулярная структура дигидрата α -глицинато(этилендиамин-N,N'-диацетато)кобальта(III). // Коорд. химия. - 1990. - 16, № 7. - С. 955-959.

2. Безрукавникова И.М., Польнова Т.Н., Позняк А.Л., Порай-Кошиц М.А. Кристаллическая структура пентагидрата аэзо(этилендиаминтетраацетато)кобальтата(III) бария. // Коорд. химия. - 1990. - 16, № 8. - С. 1036-1091.

3. Безрукавникова И.М., Бурштейн И.Ф., Полянова Т.Н., Позняк А.Л., Порай-Кошиц М.А. Кристаллическая структура хлорида гексааквокобальтия (μ -циано)(этилендиамин-N,N'-диацетато) цианокобальта(III). // Коорд. химия. - 1990. - 16, № 10. - С. 1378-1392.

4. Полянова Т.Н., Безрукавникова И.М., Филиппова Т.В., Сысоева Т.Ф., Бурштейн И.Ф., Порай-Кошиц М.А. Строение некоторых комплексонатов переходных металлов на основе этилендиаминтетрауксусной кислоты и ее аналогов. III Всесоюзное совещание по химии и применению комплексонатов и комплексонатов металлов. - Тезисы докладов. Челябинск, 1988, с. 38-39.

5. Полянова Т.Н., Позняк А.Л., Филиппова Т.В., Безрукавникова И.М., Бурштейн И.Ф., Сысоева Т.Ф., Порай-Кошиц М.А. Стереохимические аспекты реакций замещения этилендиаминтетраацетатов кобальта. Всесоюзное совещание "Дифракционные методы в химии". - Тезисы докладов. Сузdal', 1988, с. 187.

6. Безрукавникова И.М., Филиппова Т.В., Полянова Т.Н. Некоторые стереохимические аспекты строения диаминных комплексонатов Co(III), Ni(II) и Cu(II). У Всеобщее совещание по кристаллохимии неорганических и координационных соединений. - Тезисы докладов. Владивосток, 1989, с. 177.

7. Безрукавникова И.М. Строение комплексонатов кобальта на основе этилендиаминтетрауксусной кислоты и ее аналогов. Конференция молодых ученых хим. факультета МГУ. - Тезисы докладов. М., МГУ, 1989, с. 60-62.

8. Полянова Т.Н., Порай-Кошиц М.А., Филиппова Т.В., Безрукавникова И.М. Некоторые аспекты строения диаминных комплексонатов переходных металлов. ХУП Всеобщее Чугаевское совещание по химии комплексных соединений. - Тезисы докладов. Минск, 1990, с. 396.

9. Безрукавникова И.М., Митрофанова Н.Д., Ковалева И.Б. Сопоставление результатов физико-химических исследований строения этилендиаминдисукцинатов никеля. ХУП Всеобщее Чугаевское совещание по химии комплексных соединений, - Тезисы докладов. Минск, 1990, с. 496.

старик -

Подп. в печ. 12.11.90. Формат изд. 60x84 1/16.
Объем 1,5 п.л. Заказ 190/у Тираж 100

ИП "Печатник" Мосгорпечать Н. Краснохолмская д.5